

УДК 550.380.12

ВЛИЯНИЕ КОРОТИРУЮЩИХ ОБЛАСТЕЙ ВЗАИМОДЕЙСТВИЯ СОЛНЕЧНОГО ВЕТРА НА ДОЛГОВРЕМЕННЫЕ ВАРИАЦИИ ИНТЕНСИВНОСТИ ГАЛАКТИЧЕСКИХ КОСМИЧЕСКИХ ЛУЧЕЙ

© 2023 г. М. С. Калинин^{1,*}, М. Б. Крайнев^{1,2}, С. Луо², М. С. Подгитер^{2,3}

¹Физический институт им. П.Н. Лебедева РАН, Москва, Россия

²Шаньдунский институт перспективных технологий, Цзинань, Шаньдун, Китай

³Институт экспериментальной и прикладной физики,
Университет Христиана Альбрехта, Киль, Германия

*e-mail: kalininmts@lebedev.ru

Поступила в редакцию 01.02.2023 г.

После доработки 03.04.2023 г.

Принята к публикации 25.05.2023 г.

Анализ данных космических аппаратов, сканировавших значительные области гелиосферы, а также результатов магнитно-гидродинамических расчетов указывает на то, что коротирующие области взаимодействия солнечного ветра, практически постоянно присутствующие в низко- и среднеширотной гелиосфере, иногда сильно изменяют крупномасштабные характеристики гелиосферы, важные для долговременных вариаций интенсивности галактических космических лучей. В частности, для кэррингтоновского оборота № 2066 (январь–февраль 2008 г.) эти области усиливают магнитные поля во внутренней ($r < 3\text{--}5$ а.е.) и ослабляют их в средней и дальней гелиосфере, а также существенно изменяют распределение гелиосферных магнитных полей по полярности. Авторами было сделано предположение, что в такой ситуации влияние коротирующих областей взаимодействия должно приводить к увеличению интенсивности галактических космических лучей во многих областях гелиосферы. В статье обсуждаются процесс изменения распределения гелиосферных магнитных полей по полярности из-за взаимодействия разноскоростных потоков СВ для кэррингтоновского оборота № 2066, простая модель гелиосферного магнитного поля без взаимодействия между разноскоростными потоками солнечного ветра, а также результаты численных двумерных расчетов методом конечных разностей усредненной по долготе интенсивности ГКЛ с использованием указанной модели в сравнении с трехмерным расчетом методом Монте-Карло, основанным на трехмерном магнитно-гидродинамическом моделировании гелиосферы.

DOI: 10.31857/S0016794023600606, EDN: KRORZD

1. ВВЕДЕНИЕ

Коротирующие области взаимодействия (КОВ) разноскоростных потоков солнечного ветра (СВ) образуются во внутренней гелиосфере ($r < 10$ а.е.) из-за зависимости скорости СВ от долготы. В областях взаимодействия существенно перестраивается распределение гелиосферных характеристик, которые в первом приближении стационарны во вращающейся с Солнцем системе координат [Belcher and Davis 1971; Richardson, 2018]. До наблюдений с космических аппаратов на поверхности Земли они воспринимались как рекуррентные вариации (т.е. вариации с периодами, близкими к периоду вращения Солнца ($T_{\odot} \approx 27$ дней)) геомагнитных характеристик и интенсивности галактических космических лучей (ГКЛ) [Simpson, 1998; Modzelewska and Alania, 2012]. С начала космической эры эти вариации стали наблюдаться в гелиосферных характеристиках (скорости, плот-

ности и температуре СВ, напряженности гелиосферных магнитных полей (ГМП) и ГКЛ сравнительно малых энергий (например, [Hundhausen, 1972; Modzelewska et al., 2020]). В 1970-х годах образование КОВ было связано с формой гелиосферного токового слоя (ГТС) в основании гелиосферы, и для простых случаев хорошо теоретически исследовано в МГД-приближении [Shulz, 1973; Pizzo and Gosling, 1994].

Моделирование рекуррентных вариаций интенсивности ГКЛ также основывалось на МГД-расчетах скорости СВ и характеристик ГМП, сначала в простых МГД-моделях (например, [Kóta and Jokipii, 1991; Kóta and Jokipii, 1998]), а в последнее десятилетие – на детальном моделировании как условий между фотосферой и гелиосферой ($r_{\odot} < r < 20r_{\odot} \approx 0.1$ а.е.), так и во внутренней и даже средней гелиосфере [Guo and Florinski, 2014, 2016; Wiengarten et al., 2014; Kopp et al., 2017; Shen

et al., 2018; Luo et al., 2020]. Однако при рассмотрении связанных с КОВ эффектов в ГКЛ обычно ограничиваются рассмотрением 27-дневных вариаций интенсивности. В определенной степени это связано с тем, что авторы некоторых работ, использовавших упрощенное моделирование как характеристики гелиосферы, так и интенсивности ГКЛ, пришли к выводу, что КОВ существенно влияет лишь на короткопериодические вариации ГКЛ, слабо изменяя их крупномасштабное распределение [Kóta and Jokipii, 1991]. Другими словами, вывод этих авторов означает, что влияние разноскоростных потоков СВ на долговременные вариации интенсивности ГКЛ, т.е. вариации с характерными временами τ , значительно большими, чем период вращения Солнца ($\tau \gg T_{\odot}$), незначителен.

В комплексном 3D исследовании КОВ и ГКЛ для кэррингтоновского оборота (КО) 2066 (январь–февраль 2008 г.) [Luo et al., 2020] обсуждаются в основном рекуррентные вариации гелиосферных характеристик и интенсивности протонов ГКЛ, т.е. зависимость характеристик от гелиодолготы. Однако в этой работе проводится и сравнение с наблюдениями расчетного спектра протонов, усредненного за весь КО 2066. В работе [Крайнев и др., 2023] был продолжен анализ результатов МГД-моделирования скорости СВ и ГМП, полученных в [Luo et al., 2020], и сделан вывод о такой эволюции областей усиления и ослабления ГМП, что на средних расстояниях ($10 < r \leq 30$ а.е.) и, возможно, в дальней гелиосфере превалирует ослабление ГМП, что должно привести к возрастанию интенсивности в больших областях гелиосферы как следствие взаимодействия разноскоростных потоков СВ.

В данной статье, продолжающей исследования в работах [Luo et al., 2020; Крайнев и др., 2023], мы более подробно остановимся на некоторых результатах МГД-моделирования характеристик гелиосферы, обсудим предложенную в [Крайнев и др., 2023] модель ГМП без эффектов взаимодействия разноскоростных потоков СВ, а также приведем результаты расчета интенсивности ГКЛ с использованием указанной модели. В разделе 2 кратко изложены представления об эволюции из-за взаимодействия разноскоростных потоков СВ областей усиления и ослабления ГМП и более подробно – об изменении формы ГТС, т.е. распределения ГМП по полярности (знаку радиальной компоненты ГМП). Затем (в разделе 3) более подробно, чем в работе [Крайнев и др., 2023], обсуждается модель СВ и ГМП, соответствующая их исходному распределению в основании гелиосферы, но без взаимодействия между разноскоростными потоками СВ. В центральном разделе 4 обсуждается и сравнивается с другими подходами основанное на указан-

ной модели ГМП моделирование интенсивности ГКЛ в КО 2066 с помощью простой программы для решения 2D транспортного уравнения для распространения ГКЛ. Наконец, обсуждению полученных результатов посвящен раздел 5.

2. СВЯЗАННАЯ С КОВ ЭВОЛЮЦИЯ ГЛОБАЛЬНОГО ГТС

Образование и эволюция КОВ для простых граничных условий (модель наклонного токового слоя и заданная зависимость скорости СВ от углового расстояния до него при постоянстве остальных характеристик – радиальной компоненты ГМП B_r , плотности N и температуры $T_{\text{СВ}}$ были численно промоделированы в МГД-приближении во многих работах [Pizzo and Gosling, 1994; Guo and Florinski, 2014]. При этом был продемонстрирован поворот области усиления ГМП в пространстве, образование ударных волн и прочие особенности при качественном согласии с наблюдениями. Однако реальные распределения скорости СВ и ГМП в основании гелиосферы значительно более сложны, и моделирование реального поведения характеристик гелиосферы в районе орбиты Земли и тем более на больших расстояниях требует детального расчета этих распределений. Такие расчеты проводятся систематически, особенно для прогноза космической погоды (условий в околоземном пространстве, важных для процессов на Земле) [Riley et al., 2012; Mays et al., 2015].

В работе [Крайнев и др., 2023] при анализе результатов МГД-моделирования скорости СВ и ГМП, полученных в [Luo et al., 2020], основное внимание обращалось на эволюцию с расстоянием: 1) долготного распределения скорости СВ, которое приводит к ограничению области существования КОВ, и 2) областей относительного ослабления ГМП, что приводит к образованию слабо изменяющейся с расстоянием области относительного ослабления ГМП. Эти явления были проиллюстрированы, и именно со вторым из них мы связали эффект возможного существенного ослабления модуляции ГКЛ при учете КОВ. О том факте, что ГТС с расстоянием сильно изменяется как по степени изогнутости, оцениваемой по т.н. квазитилту α_{qt} , половине диапазона широт, занятого ГТС, – от $\alpha_{\text{qt}} = 28.1^\circ$ в основании гелиосферы до $\alpha_{\text{qt}} = 4.4^\circ$ к границе области МГД-расчета), так и по среднему положению (от широты магнитного экватора $\lambda_{\text{me}} = -8.5^\circ$ до $\lambda_{\text{me}} = 10.7^\circ$) в работе [Крайнев и др., 2023] лишь упомянуто.

На рис. 1 для иллюстрации, как произошло такое сильное изменение глобального (т.е. соединяющего все долготы) ГТС, показаны расчетные распределения радиальной компоненты ГМП B_r на двух последовательных сферах. Видно, что на

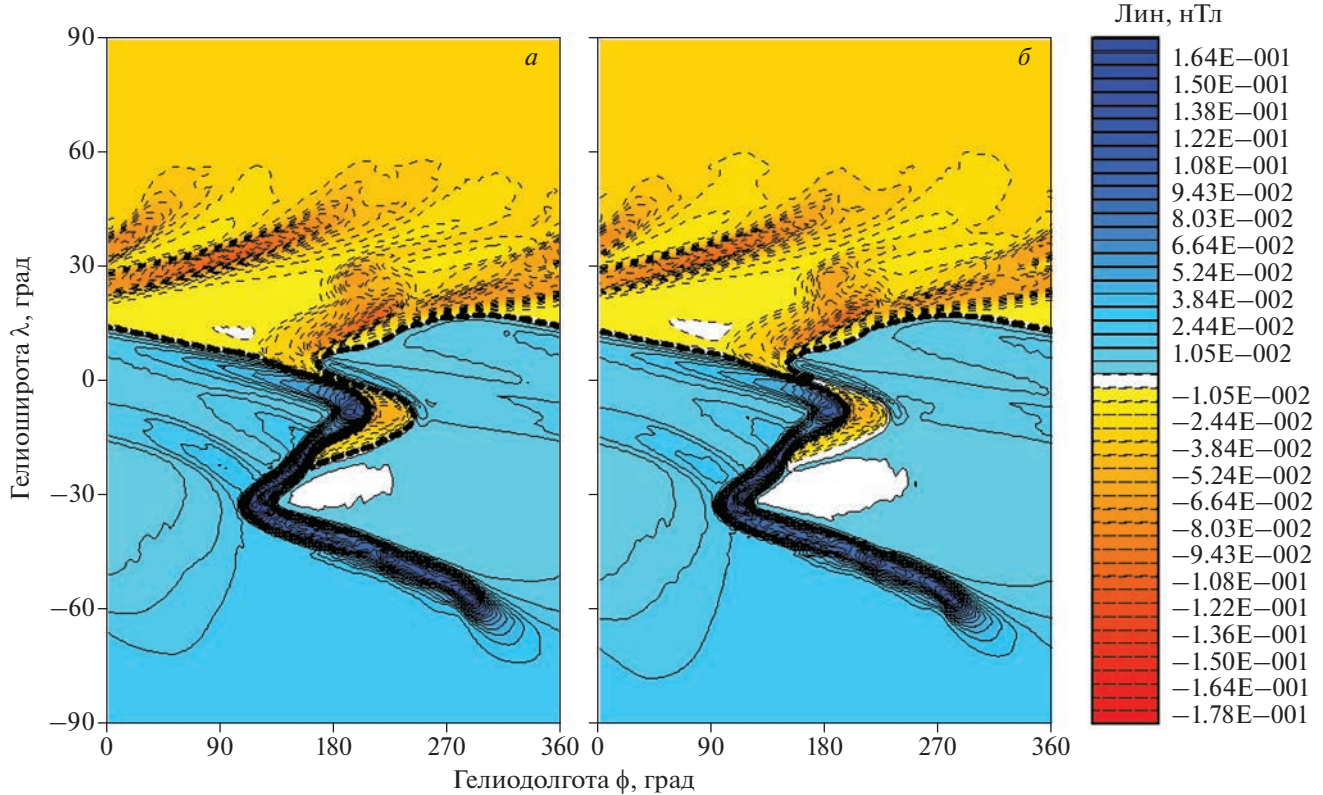


Рис. 1. Распределение радиальной компоненты ГМП B_r на сferах $r = 10.46$ а.е. (а) и $r = 10.77$ а.е. (б) для КО 2066 согласно [Luo et al., 2020]. Изолинии положительных значений B_r показаны сплошными, а отрицательных – штриховыми линиями. Толстыми черными штриховыми кривыми показано расположение глобального гелиосферного токового слоя.

первой сфере еще существует соединение “косы” отрицательной полярности ГМП в диапазоне гелиоширот $\lambda \approx [0^\circ, -28^\circ]$ с “полусферой-материком” этой полярности, т.е. глобальный ГТС занимает диапазон $\lambda \approx [18^\circ, -25^\circ]$. Но уже на следующей сфере эта “коса” отрезана от “материка” и стала маленьким “островом” в “море” ГМП положительной полярности, который пропал через несколько астрономических единиц, а широтный диапазон глобального ГТС сократился до $\lambda \approx [18^\circ, 0^\circ]$.

3. МОДЕЛЬ СВ И ГМП БЕЗ ОБРАЗОВАНИЯ КОРТИРУЮЩИХ ОБЛАСТЕЙ ВЗАИМОДЕЙСТВИЯ

В работе [Крайнев и др., 2023] для подчеркивания рассчитанных в МГД-приближении эффектов КОВ – усиления и ослабления ГМП – локальная расчетная напряженность ГМП $B^{MHD}(r, \theta, \phi)$ сравнивалась с усредненной по долготе напряженностью паркеровского ГМП $\bar{B}^{Par}(r, \theta)$, которое исходит из того же распределения радиальных компонент скорости СВ и ГМП в основании гелиосферы, что и МГД-расчеты, но для скорости СВ, усредненной по долготе. Для целей

сравнения была рассчитана относительная разность этих величин и обсуждалось ее распределение на сферах разного радиуса, а также, после усреднения по долготе, в меридиональной плоскости. Однако в данной работе указанная паркеровская модель ГМП интересует нас не только как вспомогательное средство для выделения эффектов КОВ, но и как самостоятельная модель, с помощью которой будет рассчитываться интенсивность ГКЛ и обсуждаться влияние на эту интенсивность взаимодействия разноскоростных потоков СВ.

Поэтому рассмотрим эту модель более подробно. Обозначая усредненную по долготе радиальную компоненту скорости СВ $V_r^{MHD}(\theta) = \langle V_r^{MHD}(\theta, \phi) \rangle_\phi$ и распределения модуля радиальной компоненты ГМП $|B_r(\theta, \phi)|$ и ее полярности $F(r, \theta, \phi)$ в основании гелиосферы, паркеровскую модель ГМП [Parker, 1958a], согласующуюся с распределениями $V_r(r, \theta, \phi)$ и $B_r(r, \theta, \phi)$ на сфере $r = r_{min}$ в основании гелиосферы, можно представить следующим образом:

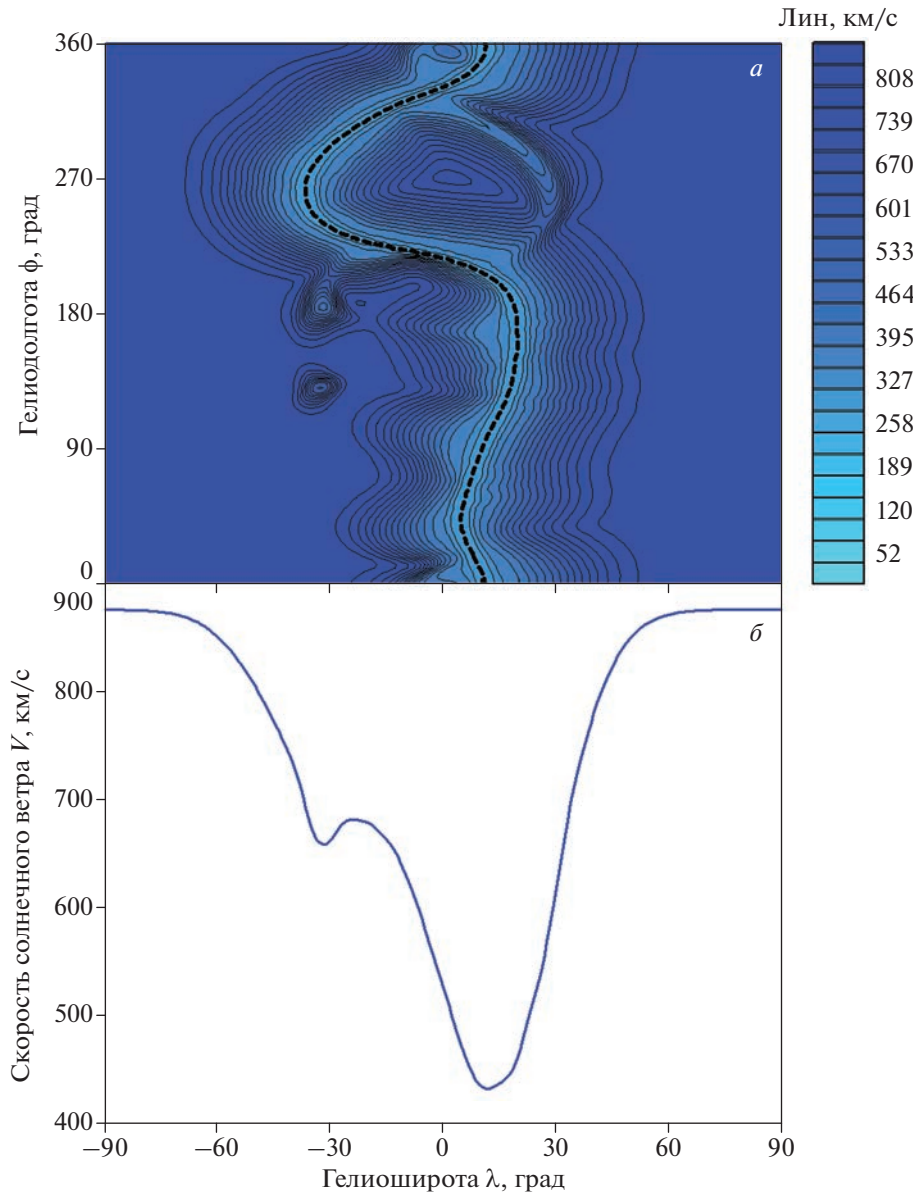


Рис. 2. Распределение скорости СВ на сфере в основании гелиосферы для КО 2066 согласно [Luo et al., 2020] (а) и зависимость от широты усредненной по долготе скорости (б). Толстой черной штриховой кривой показано расположение глобального гелиосферного токового слоя.

$$\mathbf{B}^{Par} = F |B_r(r, \theta, \phi)| \left(\frac{r_{\min}}{r} \right)^2 \times \\ \times \left(\mathbf{e}_r - \frac{\omega(r - r_{\min}) \sin \theta}{V_r^{MHD}} \mathbf{e}_{\phi} \right), \quad (1)$$

где ω и $\mathbf{e}_r, \mathbf{e}_{\phi}$ – соответственно, угловая скорость вращения Солнца и единичные вектора по радиусу и долготе.

Для целей данной работы основная особенность модели ГМП (1) заключается в том, что она, опираясь на те же распределения скорости СВ и ГМП в основании гелиосферы, что и МГД-расче-

ты, не приводит к образованию разноскоростных потоков, а значит и КОВ.

На рис. 2 зависимость от гелиошироты усредненной по долготе радиальной компоненты скорости СВ сравнивается с распределением этой скорости в основании гелиосферы (на сфере $r \approx 0.19$ а.е.). Заметна особенность в этой зависимости с локальным максимумом. Верхняя панель рис. 3 иллюстрирует распределения как $|B_r(\theta, \phi)|$, так и $F(r, \theta, \phi)$.

Таким образом, иллюстрированная на рис. 2 и 3 модель ГМП (1) это 3D-модель, с зависимостью от долготы как полярности, так и абсолют-

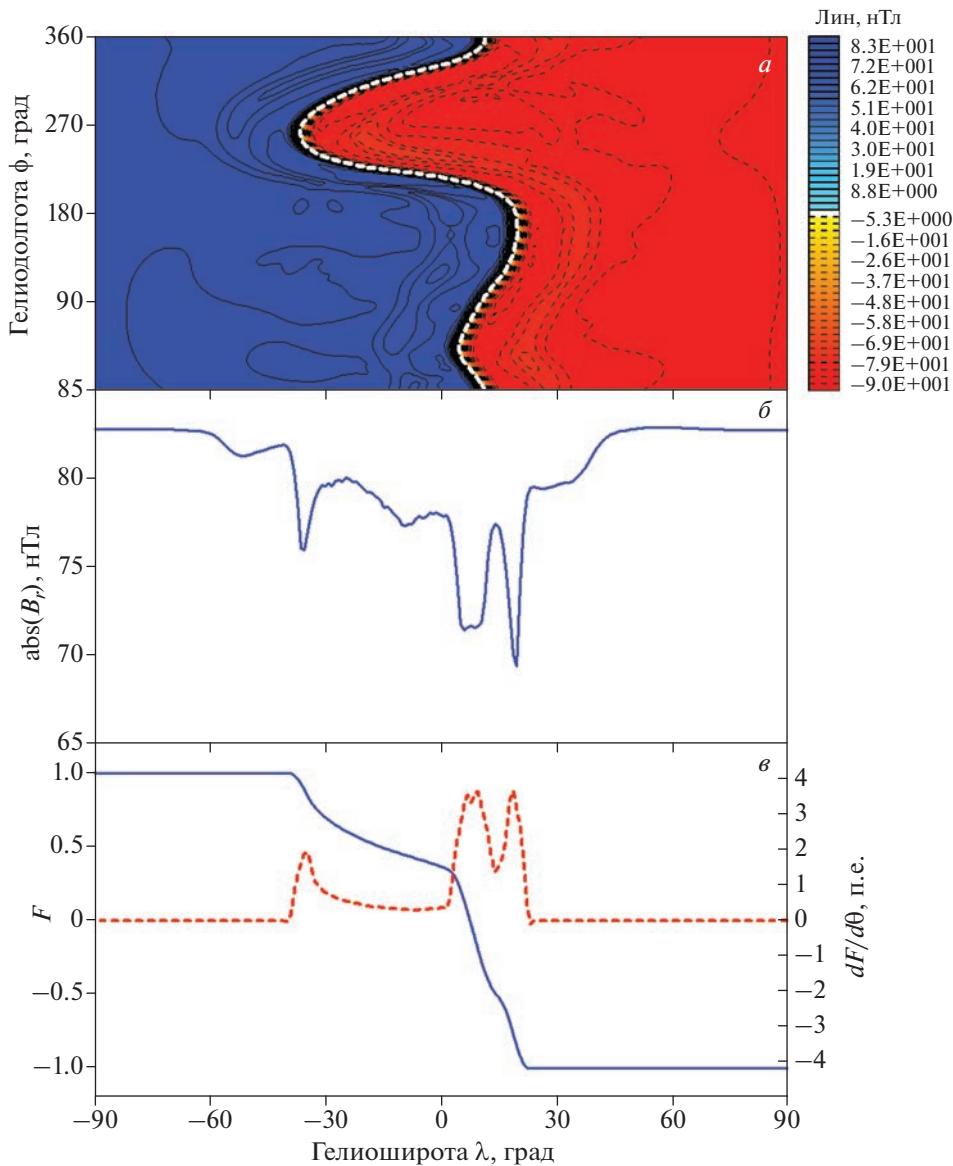


Рис. 3. Распределение радиальной компоненты ГМП B_r на сфере в основании гелиосферы для КО 2066 согласно [Luo et al., 2020] (a). Изолинии положительных значений B_r показаны сплошными, а отрицательных – штриховыми линиями. Зависимость от широты усредненных по долготе абсолютной величины B_r (б), полярности ГМП $F(\theta)$ – сплошная кривая, левый масштаб и производной F по полярному углу $dF/d\theta$ (в) – штриховая кривая, правый масштаб).

ной величины радиальной компоненты ГМП. При этом распределение обеих этих характеристик и форма ГТС, показанные на рис. 3а для основания гелиосферы, изменяются с расстоянием, поскольку усредненная по долготе скорость зависит от широты. Отметим, что эта модель близка к используемым для моделирования долговременных вариаций интенсивности ГКЛ в работах группы North-West University (NWU, South Africa) [Potgieter and Vos, 2017; Aslam et al., 2019; Ngobeni et al., 2020; Ngobeni et al., 2021].

В то же время при использовании для моделирования усредненной по долготе интенсивности

ГКЛ в 2D-программах, например, используемых группой ФИАН [Калинин и др., 2015], важны также показанные на рис. 3 усредненные по долготе абсолютная величина радиальной составляющей ГМП (рис. 3б), а также полярность $F(\theta)$ и $dF/d\theta$ (рис. 3в). Как будет показано в следующем разделе, усредненная по долготе полярность ГМП, ее производная по полярному углу, а также усредненная по долготе абсолютная величина радиальной составляющей ГМП определяют скорость дрейфа частиц ГКЛ в неоднородном магнитном поле гелиосферы.

4. МОДЕЛИРОВАНИЕ ИНТЕНСИВНОСТИ ГКЛ В КО 2066

Как уже обсуждалось в работах [Kopp et al., 2017; Luo et al., 2020], моделирование рекуррентных вариаций интенсивности ГКЛ обычно осуществляется во вращающейся с Солнцем системе координат решением стационарного 3D-уравнения для функции распределения, $\mathcal{U}(\mathbf{r}, p) = \mathcal{J}(\mathbf{r}, T)/p^2$, [Parker, 1958, 1965; Крымский, 1964; Jokipii et al., 1977]:

$$\nabla \cdot (\mathcal{K}_s \nabla \mathcal{U}) - (\mathbf{V} + \mathbf{V}_D) \cdot \nabla \mathcal{U} + \frac{\nabla \cdot \mathbf{V}}{3} \frac{\partial \mathcal{U}}{\partial \ln p} = 0, \quad (2)$$

где p , T – импульс и кинетическая энергия частиц, \mathcal{K}_s – тензор диффузии, а \mathbf{V} и \mathbf{V}_D – скорости СВ и дрейфа частиц в неоднородном ГМП. Для моделирования рекуррентных вариаций интенсивности ГКЛ гелиосферные характеристики, от которых зависят коэффициенты уравнения (2), предварительно определяются в МГД-приближении. Наиболее часто краевую задачу, связанную с уравнением (2), решают методом Монте-Карло [Zhang, 1999a, 1999b; Guo and Florinski, 2016; Kopp et al., 2017; Luo et al., 2020], хотя решение методами конечных разностей более сложно, но тоже возможно [Kota and Jokipii, 1991; Kota and Jokipii 1998].

Усреднением уравнения (2) по долготе легко получить уравнение для описания поведения усредненной по долготе интенсивности ГКЛ, $\mathcal{J}(r, \theta, T) = \langle \mathcal{J}(\mathbf{r}, T) \rangle_\phi$, с которой связываются долговременные вариации интенсивности ГКЛ:

$$\begin{aligned} &\nabla \cdot (\mathbf{K} \cdot \nabla U) - (\mathbf{V} + \mathbf{V}_d) \cdot \nabla U + \\ &+ \frac{\nabla \cdot \mathbf{V}}{3} \frac{\partial U}{\partial \ln p} + Q = 0, \end{aligned} \quad (3)$$

где коэффициенты 2D-уравнения (3) равны соответствующим коэффициентам 3D-уравнения (2), усредненным по долготе, а член источника Q зависит от вариаций искомой функции и коэффициентов с долготой [Калинин, Крайнев, 2014; Kalinin et al., 2021]. Краевые и “начальные” условия для U в сферической гелиоцентрической системе координат (r, θ, ϕ) :

$$\left. \frac{\partial U}{\partial r} \right|_{r=r_{\min}} = \left. \frac{\partial U}{\partial \theta} \right|_{\theta=0, \pi} = 0, \quad (4a)$$

$$U \Big|_{r=r_{\max}} = U_{nm}(p), \quad (4b)$$

$$U \Big|_{p=p_{\max}} = U_{nm}(p_{\max}), \quad (4c)$$

где r_{\min} , r_{\max} , U_{nm} – внутренний и наружный размеры области модуляции и немодулированная функция распределения ГКЛ, соответственно.

В работе [Крайнев и др., 2023] было высказано предположение, что наиболее точным и прямым путем исследования влияния взаимодействия

разноскоростных потоков СВ на долговременные вариации интенсивности ГКЛ является решение 3D-уравнения (2) с коэффициентами, основанными на МГД-моделировании характеристик гелиосферы, и последующее усреднение решения по долготе. Однако надежный МГД-расчет СВ и ГМП во всей гелиосфере и моделирование распространения ГКЛ в сильно неоднородной среде – довольно сложная задача. Поэтому мы надеемся, что многие стороны этого влияния могут быть изучены с помощью решения значительно более простых краевых задач типа 2D (3–4) или 3D, но в которых основные коэффициенты уравнения (2), в первую очередь скорость СВ, от долготы не зависят (например, [Potgieter and Vos, 2017; Aslam et al., 2019; Bishchoff et al., 2019; Ngobeni et al., 2020; Ngobeni et al., 2021]). В данной работе мы применим для этих целей программный пакет и модели коэффициентов краевой задачи (3–4), разработанные и много лет используемые в группе ФИАН.

Подход, которым мы пользуемся, состоит в сравнении результатов расчетов в простых 2D-моделях и комплексного 3D-расчета интенсивности ГКЛ на орбите Земли для КО 2066 (январь–февраль 2008 г.) [Luo et al., 2020], о котором шла речь в разделах 2, 3. При этом как 2D-, так и 3D-расчеты опираются на одни и те же распределения скорости СВ и ГМП в основании гелиосферы, показанные на рис. 2 и рис. 3 соответственно. Но для 2D-расчетов используется паркеровская модель ГМП (3) с усредненными по долготе скоростью СВ (рис. 2б), абсолютной величины радиальной компоненты (рис. 3б) и полярности (рис. 3в), при отсутствии эффектов взаимодействия разноскоростных потоков СВ и образования КОВ. А для 3D-расчетов сначала используется МГД-моделирование характеристик гелиосферы, по результатам которого рассчитывается методом Монте-Карло зависящая от долготы интенсивность, которая затем усредняется по долготе.

Используется простой вариант 2D-модели ФИАН без члена источника Q (см. обсуждение в [Крайнев и др., 2023]), а также без разных показателей жесткостной зависимости коэффициента диффузии внутри и вне зоны секторной структуры ГМП, что мы считаем одним из проявлений взаимодействия разноскоростных потоков СВ (см. [Калинин и др., 2015]). Для правомерности сравнения с результатами 3D моделирования ГКЛ в работе [Luo et al., 2020] при 2D-расчетах используются те же простые модели коэффициентов диффузии вдоль и поперек регулярного ГМП и немодулированный спектр, что и в работе [Luo et al., 2020]:

$$K_{\parallel} = K_{\parallel 0} \beta \left(\frac{R}{R_0} \right)^{0.5} \frac{B_{eq}}{B}, \quad (5)$$

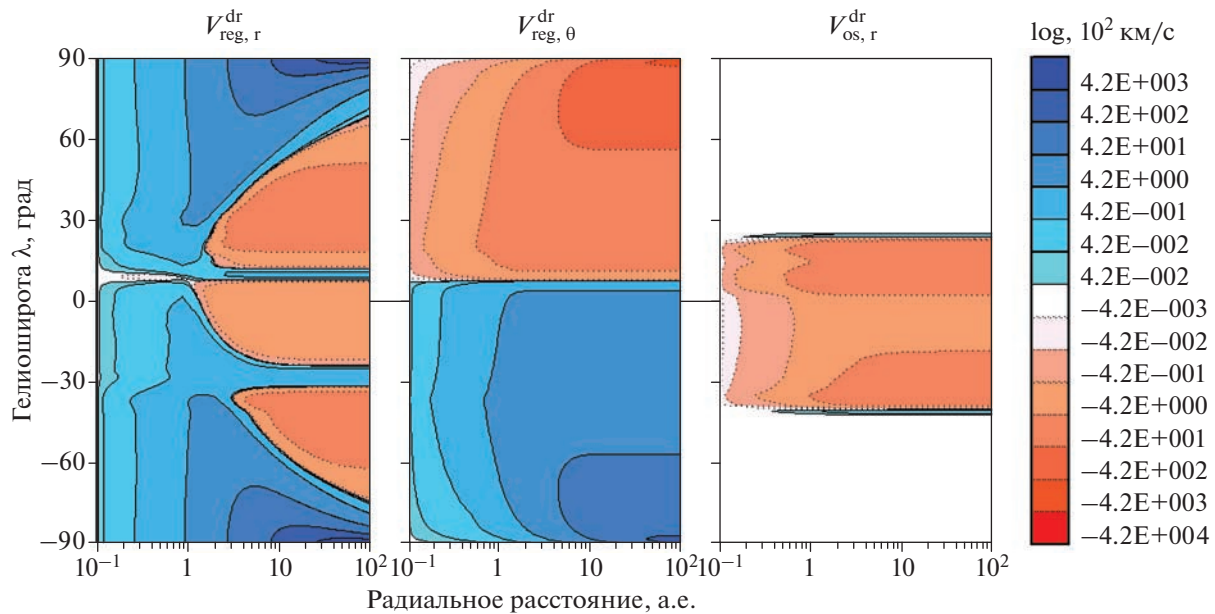


Рис. 4. Зависимость регулярной и вдоль токового слоя составляющих скорости магнитного дрейфа протонов ГКЛ от радиального расстояния и гелиошироты по выражениям (8) и результатам МГД-расчетов работы [Luo et al., 2020] для КО 2066. Левая, центральная и правая панели, соответственно, – радиальная и по полярному углу составляющие регулярной скорости дрейфа и скорость вдоль токового слоя. Изолинии положительных значений показаны сплошными, а отрицательных – пунктирными линиями.

$$K_{\perp} = K_{\perp 0} \beta \left(\frac{R}{R_0} \right)^{0.5} \frac{B_{eq}}{B}, \quad (6)$$

$$\mathcal{J}_{LIS} = 2700 \frac{E^{1.12}}{\beta^2} \left(\frac{E + 0.67}{1.67} \right)^{-3.93}, \quad (7)$$

где $K_{\parallel 0} = 19 \times 10^{20} \text{ см}^2/\text{с}$, $K_{\perp 0} = 0.094 K_{\parallel 0}$; β и R – отношение скоростей частицы и света и жесткость частиц, $R_0 = 1 \text{ ГэВ}$, а B_{eq} – напряженность ГМП на орбите Земли.

Что касается скорости дрейфа, в 2D-моделях ФИАН она определяется, кроме усредненной по долготе абсолютной величины радиальной составляющей ГМП, полярностью ГМП, усредненной по долготе, а также ее производной по широте.

$$\mathbf{V}_d^{reg} = \frac{pv}{3q} F \left[\nabla \times \frac{\mathbf{B}_m}{B^2} \right], \quad \mathbf{V}_d^{cs} = \frac{pv}{3q} \left[\nabla F \times \frac{\mathbf{B}_m}{B^2} \right], \quad (8)$$

где $\nabla F = dF/d\theta/r$, а \mathbf{B}_m – “монопольное”, направленное везде от Солнца осесимметричное ГМП (определенное усредненными по долготе скоростью СВ и абсолютной величиной радиальной компонентой ГМП в основании гелиосферы). На рис. 4 показана зависимость всех трех составляющих скорости дрейфа (радиальной и по полярному углу составляющих регулярной скорости дрейфа и радиальной составляющей скорости вдоль токового слоя) от радиального расстояния и гелиошироты. Заметны несимметричность

распределений всех составляющих относительно гелиоэкватора, а также нерегулярность изолиний, что определяется показанными на рис. 2б и рис. 3б, с особенностями соответствующих зависимостей.

На рис. 5 с энергетическим спектром протонов в районе орбиты Земли, рассчитанный для КО 2066 в работе [Luo et al., 2020], сравниваются наблюдаемый спектр по данным КА ПАМЕЛА [Adriani et al., 2013] и спектры, смоделированные в 2D-расчете с использованием паркеровской модели ГМП (1), коэффициентов диффузии (5, 6) и немодулированного спектра (7) на границе области модуляции $r = 122 \text{ а.е.}$ Видно, что 3D-расчеты, учитывающие взаимодействие разноскоростных потоков СВ [Luo et al., 2020], довольно хорошо описывают данные наблюдений, а спектр для той же общей полярности ГМП $A < 0$, согласно 2D расчетам, не учитывающим это взаимодействие, лежит существенно ниже наблюдаемого. Кроме того, видно большое различие между спектрами для общей полярности ГМП $A > 0$ и $A < 0$, а спектр, полученный без учета дрейфа ($A = 0$), на много ниже, чем для $A > 0$ и $A < 0$. Это характерно при использовании малых коэффициентов диффузии (т.е. приближения сильного дрейфа) [Luo et al., 2020].

Коэффициенты диффузии согласно выражениям (5–6), использованные в 3D-расчете [Luo et al., 2020] и в описанных выше 2D-расчетах, значительно более низкие, чем обычно использу-

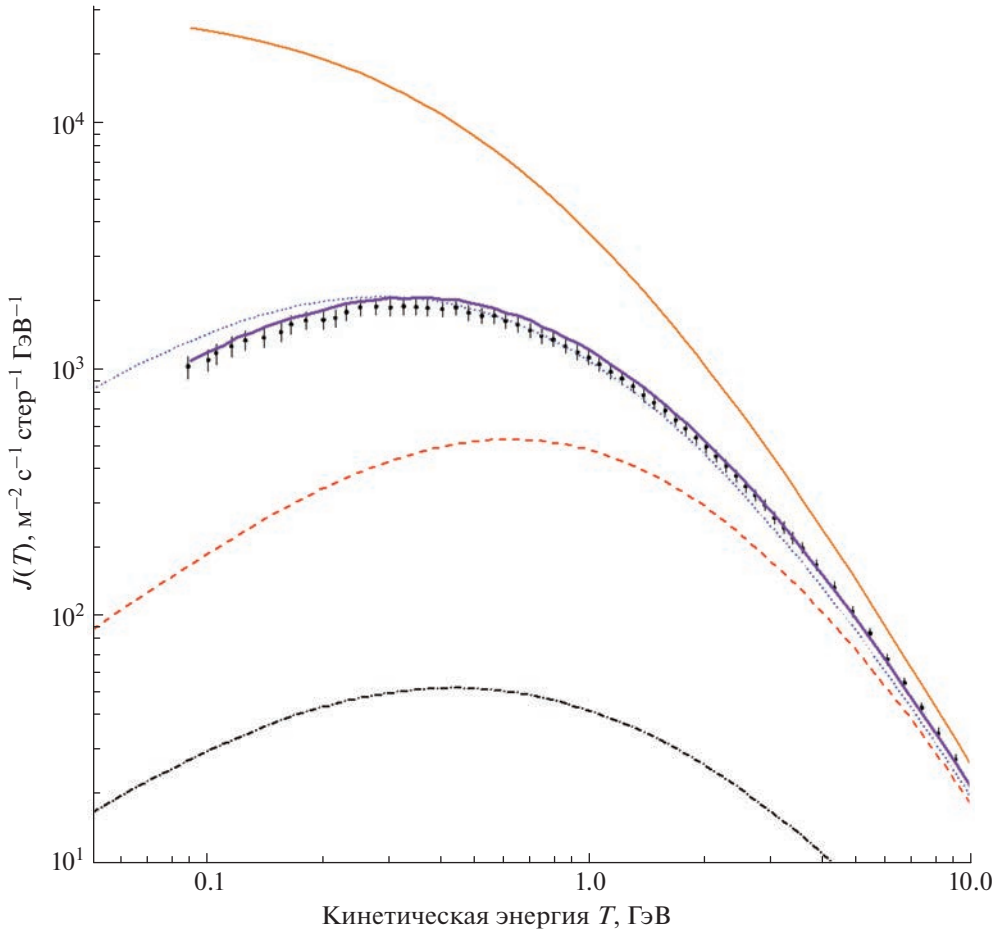


Рис. 5. Результаты расчета спектра протонов ГКЛ для КО 2066 около Земли. Вертикальными черными штрихами показаны результаты измерений на КА PAMELA [Adriani et al., 2013]. Сплошная кривая, проходящая через данные наблюдений – спектр, полученный в 3D-расчете в работе [Luo et al., 2020]. Пунктирная, штриховая и штрихпунктирная кривые – спектры, рассчитанные в 2D-модели (3) с коэффициентами диффузии согласно (5–6) для общей полярности ГМП $A > 0$, $A < 0$ и $A = 0$, соответственно. Верхняя сплошная более светлая кривая – немодулированный спектр согласно (7), использованный для всех расчетов.

ются при описании наблюдений КА ПАМЕЛА вблизи минимума 23–24 солнечного цикла (см. например, [Ngobeni et al., 2020]).

Если же использовать зависимость коэффициента диффузии от жесткости, используемую в работах [Bishchoff et al., 2019; Ngobeni et al., 2020]

$$K_{\parallel} = (K_{\parallel})_0 \beta \left(\frac{B_0}{B} \right) \left(\frac{R}{R_0} \right)^{cl} \left(\frac{\left(\frac{R}{R_0} \right)^{c3} + \left(\frac{R_k}{R_0} \right)^{c3}}{1 + \left(\frac{R_k}{R_0} \right)^{c3}} \right)^{\frac{c2_{\parallel}-cl}{c3}}, \quad (9)$$

$$K_{\perp} = 0.02 K_{\parallel}, \quad (10)$$

с $K_{\parallel,0} = 2.7 \times 10^{22} \text{ см}^2/\text{s}$ и теми же остальными константами, что использованы в [Bishchoff et al., 2019], то даже без введения других средств подавления дрейфовых эффектов (в первую очередь су-

щественно разные коэффициенты диффузии по-перек регулярного ГМП в радиальном и широтном направлении), получим (рис. 6) значительно лучшее описание наблюдаемого энергетического спектра протонов в районе орбиты Земли для реальной общей полярности ГМП $A < 0$. Кроме того, различие между спектрами для общей полярности ГМП $A > 0$ и $A < 0$, значительно сократилось, а спектр, полученный без учета дрейфа ($A = 0$), приблизился к спектрам для $A > 0$ и $A < 0$ и лежит между ними. Это означает, что использовано приближение слабого дрейфа.

5. ОБСУЖДЕНИЕ РЕЗУЛЬТАТОВ

Анализ результатов МГД-моделирования геомагнитных характеристик для кэррингтоновского оборота 2066 (01–02.2008 г.), проведенного в работе [Luo et al., 2020], показал, что, наряду с относительным ослаблением ГМП в средней и

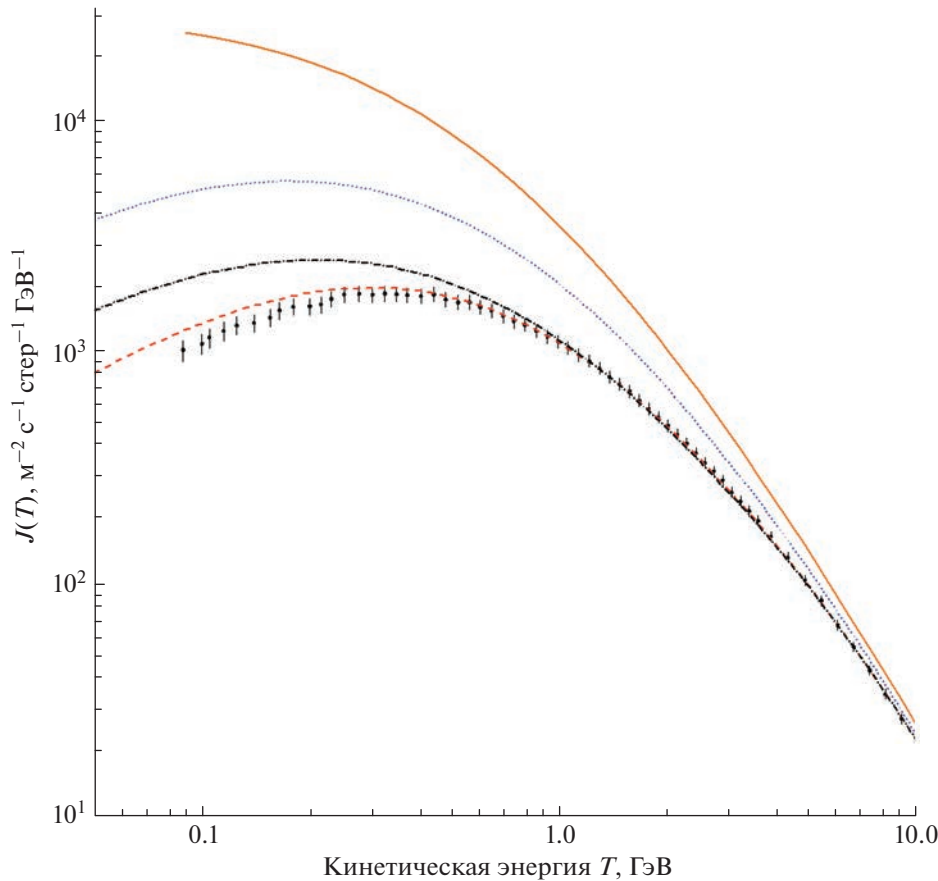


Рис. 6. То же, что на рис. 5, но при использовании в 2D-расчетах по модели (5–6) коэффициентов диффузии согласно (9–10).

дальней гелиосфере, имеет место сильная эволюция с расстоянием распределения ГМП по полярности, а именно, существенное уплощение глобального ГТС. О важности этого вывода пойдет речь ниже, а здесь лишь отметим, что неясно, является ли такая ситуация специфической только для КО 2066 и какими особенностями распределения характеристик в основании гелиосферы она обусловлена.

Для выявления эффектов взаимодействия разнокоростных потоков СВ в качестве реперных моделей при сравнении с МГД-моделированием могут быть использованы кинематические модели гелиосферного магнитного поля, формируемого независящей от долготы скоростью СВ. Такой реперной моделью может служить предлагаемая паркеровская модель ГМП, образованного солнечным ветром с усредненной по долготе скоростью, и опирающаяся на реальные или близкие к ним распределения скорости СВ и магнитного поля в основании гелиосферы.

Отметим, что только при сравнении результатов МГД-моделирования с реперной моделью ГМП можно обсуждать относительное ослабле-

ние напряженности в средней и дальней гелиосфере. Возможно, именно в этом заключается одна из причин, почему наши выводы о существенном влиянии взаимодействия разнокоростных потоков СВ на крупномасштабные характеристики гелиосферы противоречат выводу работы [Kóta and Jokipii, 1991], что КОВ существенно влияет лишь на короткопериодические вариации ГКЛ, слабо изменяя их крупномасштабное распределение. Вторая причина может заключаться в сильном отличии простой модели условий в основании гелиосферы, используемой в [Kóta and Jokipii, 1991] (модель наклонного ГТС и простая зависимость скорости СВ от углового расстояния от ГТС), от граничных условий, используемых в работе [Luo et al., 2020] (см. рис. 2а и рис. 3а).

3D-моделирование усредненной по долготе интенсивности ГКЛ [Luo et al., 2020], использующее МГД-расчеты, которые учитывают взаимодействие разнокоростных потоков СВ и образование КОВ, довольно хорошо описывает данные наблюдений около Земли для кэррингтоновского оборота 2066. Нам представляется важным, что при моделировании интенсивности ГКЛ в [Luo

et al., 2020] используются малые значения коэффициентов диффузии, т.е. приближение сильного дрейфа. Тот факт, что спектр протонов, полученный с использованием паркеровской модели ГМП (1), не включающей процессы образования и эволюции КОВ, и то же приближение сильного дрейфа, что и [Luo et al., 2020], лежит существенно ниже наблюдаемого, подкрепляет предположение, что указанное взаимодействие, по крайней мере для рассматриваемого оборота Солнца, приводит к ослаблению модуляции ГКЛ.

Для продвижения в описании долговременных вариаций интенсивности ГКЛ в 2D моделях необходимо учесть обе особенности влияния процессов образования КОВ на характеристики гелиосферы – как относительное ослабление ГМП в средней гелиосфере, так и уплощение там ГТС. Для периода с отрицательной общей полярностью ГМП ($A < 0$), когда проникновение протонов во внутреннюю гелиосферу проходит вдоль ГТС, обе эти особенности увеличивают скорость дрейфа, что должно привести к росту интенсивности. Поэтому, учитывая тот факт, что при моделировании интенсивности ГКЛ в [Luo et al., 2020] тоже используется приближение сильного дрейфа, наиболее перспективным путем в моделировании указанного ослабления модуляции ГКЛ представляется использование приближения довольно сильного дрейфа.

Если изложенные представления о существенном влиянии КОВ на крупномасштабные свойства гелиосферы в какой-то период времени справедливы, то описание долговременных вариаций интенсивности ГКЛ с использованием модели ГМП со скоростью СВ, независящей от долготы, и высоких значениях коэффициентов диффузии, т.е. приближения слабого дрейфа, возможно, но при этом влияние на распространение ГКЛ процессов взаимодействия разноско-ростных потоков СВ не учитывается.

БЛАГОДАРНОСТИ

Авторы благодарны всем командам исследователей, представляющим свои результаты в сети Интернет. Си Луо благодарен поддержке Тайшаньского научного проекта провинции Шаньдун (Taishan Scholar Project of Shandong Province, 202103143) и гранта Национального научного фонда Китая (NSFC, U2106201).

СПИСОК ЛИТЕРАТУРЫ

- Калинин М.С., Базилевская Г.А., Крайнев М.Б. и др. Описание интенсивности галактических космических лучей в трех последних минимумах солнечной активности // Изв. РАН Сер. Физ. Т. 79. № 5. С. 660–662. 2015. <https://doi.org/10.7868/S0367676515050245>
- Калинин М.С., Крайнев М.Б. Двумерное транспортное уравнение для галактических космических лучей

как следствие редукции трехмерного уравнения // Геомагнетизм и аэрономия. Т. 54. № 4. С. 463–469. 2014. <https://doi.org/10.1134/S0016793214040045>

- Крайнев М.Б., Калинин М.С., Базилевская Г.А. и др. О проявлении коротирующих областей взаимодействия солнечного ветра в вариациях интенсивности ГКЛ // Солнечно-земная физика. Т. 9. № 1. С. 3–18. 2023. <https://doi.org/10.12737/szf-81202201>
- Крымский Г.Ф. Диффузионный механизм суточных вариаций космических лучей // Геомагнетизм и аэрономия. Т. 4. № 6. С. 977–986. 1964.
- Adriani O., Barbarino G.C., Bazilevskaya G.A. et al. Time dependence of the proton flux measured by PAMELA during the 2006 July–2009 December solar minimum // ApJ. V. 765. № 91. 2013. <https://doi.org/10.1088/0004-637X/765/2/91>
- Aslam O.P.M., Bisschoff D., Potgieter M.S. et al. Modeling of Heliospheric Modulation of Cosmic-Ray Positrons in a Very Quiet Heliosphere // ApJ, 873:70. 2019. <https://doi.org/10.3847/1538-4357/ab05e6>
- Belcher J.W., Davis L. Large-amplitude Alfvén waves in the interplanetary medium, 2. // J. Geophys. Res. V. 76. Iss. 16. P. 3534. 1971. <https://doi.org/10.1029/JA076i016p03534>
- Bishchoff D., Potgieter M.S., Aslam O.P.M. New very local interstellar spectra for electrons, positrons, protons, and light cosmic ray nuclei // ApJ. V. 878:59. 2019. <https://doi.org/10.3847/1538-4357/ab1e4a>
- Guo X., Florinski V. Corotating interaction regions and the 27 day variation of galactic cosmic rays intensity at 1 AU during the cycle 23/24 solar minimum // J. Geophys. Res. Space Physics. V. 119. P. 2411–2429. 2014. <https://doi.org/10.1002/2013JA019546>
- Guo X., Florinski V. Galactic cosmic-ray intensity modulation by corotating interaction region stream interfaces at 1 au // ApJ. V. 826. № 65. 2016. <https://doi.org/10.3847/1538-4357/ab31a5>
- Hundhausen A.J. Coronal Expansion and Solar Wind, Springer-Verlag Berlin Heidelberg New York. 238 p. 1972.
- Jokipii J.R., Levy E.H., Hubbard W.B. Effects of particle drift on cosmic-ray transport. I. General properties, application to solar modulation // ApJ. V. 213. P. L85–L88. 1977.
- Kalinin M.S., Krainev M.B., Gvozdevsky B.B. et al. On the transition from 3D to 2D transport equations for a study of long-term cosmic-ray intensity variations in the heliosphere. PoS(ICRC2021)1323. 2022. <https://pos.sissa.it/>
- Kopp A., Wiengarten T., Fichtner H. et al. Cosmic-Ray Transport in Heliospheric Magnetic Structures. II. Modeling Particle Transport through Corotating Interaction Regions // ApJ. V. 837. № 37. 2017. <https://doi.org/10.3847/1538-4357/aa603b>
- Kóta J., Jokipii J.R. The role of corotating interaction regions in cosmic-ray modulation // Geophys Res Lett. V. 18. P. 1797–1800. 1991. <https://doi.org/10.1029/91GL02307>
- Kóta J., Jokipii J.R. Modeling of 3-D corotating cosmic-ray structures in the heliosphere // Space Sci Rev V. 83. P. 137–145. 1998. https://doi.org/10.1007/978-94-017-1189-0_12

- *Luo X., Zhang M., Feng X. et al.* A numerical study of the effects of corotating interaction regions on cosmic-ray transport, *ApJ.* V. 899. P. 90. 2020.
<https://doi.org/10.3847/1538-4357/aba7b5>
- *Mays M.L., Taktakishvili A., Pulkkinen A. et al.* Ensemble modeling of CMEs using the WSA-ENLIL + Cone model // *Solar Phys.* V. 290, Iss. 6. P. 1775–1814. 2015.
<https://doi.org/10.1007/s11207-015-0692-1>
- *Modzelewska R., Alania M.V.* Dependence of the 27-day variation of cosmic rays on the global magnetic field of the Sun // *Adv. Space Res.* 0:716. 2012.
<https://doi.org/10.1016/j.asr.2011.07.022>
- *Modzelewska R., Bazilevskaya G.A., Boezio M. et al.* Study of the 27 Day Variations in GCR Fluxes during 2007–2008 Based on PAMELA and ARINA Observations // *ApJ.* V. 904:3. 2020.
<https://doi.org/10.3847/1538-4357/abbdac>
- *Ngobeni M.D., Aslam O.P.M., Bisschoff D. et al.* The 3D numerical modeling of the solar modulation of galactic protons and helium nuclei related to observations by PAMELA between 2006 and 2009 // *Astrophys. & Space Sci.* V. 365:182. 2020.
<https://doi.org/10.1007/s10509-020-03896-1>
- *Ngobeni M.D., Potgieter M.S., Aslam O.P. et al.* Simulations of the solar modulation of Helium isotopes constrained by observations // *Adv. Space Res.* V. 69. P. 2330–2341. 2022.
<https://doi.org/10.1016/j.asr.2021.12.018>
- *Parker E.N.* Dynamics of the interplanetary gas and magnetic fields // *ApJ.* V. 128. P. 664. 1958a.
- *Parker E.N.* Cosmic ray modulation by solar wind // *Phys. Rev.* V. 110. P. 1445. 1958b.
- *Parker E.N.* The passage of energetic charged particles through interplanetary space // *Planet. Space Sci.* V. 13. P. 9–49. 1965.
- *Pizzo V.J., Gosling J.T.* 3-D simulation of high-latitude interaction regions: comparison with Ulysses results // *Geophys Res Lett.* V. 21. P. 2063–2066. 1994.
<https://doi.org/10.1029/94GL01581>
- *Potgieter M.S., Vos E.E.* Difference in the heliospheric modulation of cosmic-ray protons and electrons during the solar minimum period of 2006 to 2009 // *A&A.P.* 601. A23. 2017.
<https://doi.org/10.1051/0004-6361/201629995>
- *Richardson I.G.* Solar wind stream interaction regions throughout the heliosphere // *Living Reviews Solar Physics.* LRSP. V. 15. № 1. 2018.
<https://doi.org/10.1007/s41116-017-0011-z>
- *Riley P., Linker J.A., Lionello R., Mikic Z.* Corotating interaction regions during the recent solar minimum: The power and limitations of global MHD modeling // *J. Atmos. Solar-Terr. Phys.* V. 83. P. 1–10. 2012.
<https://doi.org/10.1016/j.jastp.2011.12.013>
- *Shen F., Yang Z., Zhang J. et al.* Three-dimensional MHD simulation of solar wind using a new boundary treatment: comparison with in situ data at Earth // *ApJ.* V. 866:18. 2018.
<https://doi.org/10.3847/1538-4357/aad806>
- *Shulz M.* Interplanetary sector structure and the heliomagnetic equator // *Astrophys. Space Sci.* V. 24. P. 371. 1973.
<https://doi.org/10.1007/BF02637162>
- *Simpson J.A.* A brief history of recurrent solar modulation of the galactic cosmic rays (1937–1990) // *Space Science Reviews.* V. 83. P. 169–176. 1998.
https://doi.org/10.1007/978-94-017-1189-0_15
- *Wiengarten T., Kleimann J., Fichtner H. et al.* MHD Simulations: Corotating Interaction Regions // *JGR.* V. 788. № 80. 2014.
<https://doi.org/10.1029/2012JA018089>
- *Zhang M.* A path integral approach to the theory of heliospheric cosmic-ray modulation // *ApJ.* V. 510. P. 715–725. 1999a.
<https://doi.org/10.1086/306624>
- *Zhang M.* A Markov stochastic process theory of cosmic-ray modulation // *ApJ.* V. 513. P. 409–420. 1999b.
<https://doi.org/10.1086/306857>